

## Località→ TORINO UFFICIO IDROGRAFICO

<b>DURATA</b>	<b>12h</b>
<b>Valore indice</b>	<b>MEDIANA</b>
<b>Localizzazione del dato</b>	<b>X=395177</b>
	<b>Y=4991310</b>
<b>L</b>	<b>11</b>
<b>Equazione minima stimata</b>	<b>190</b>
<b>Raggio (km)</b>	<b>76</b>
<b>Numerosità network</b>	<b>191</b>
<b>Numerosità</b>	<b>60</b>

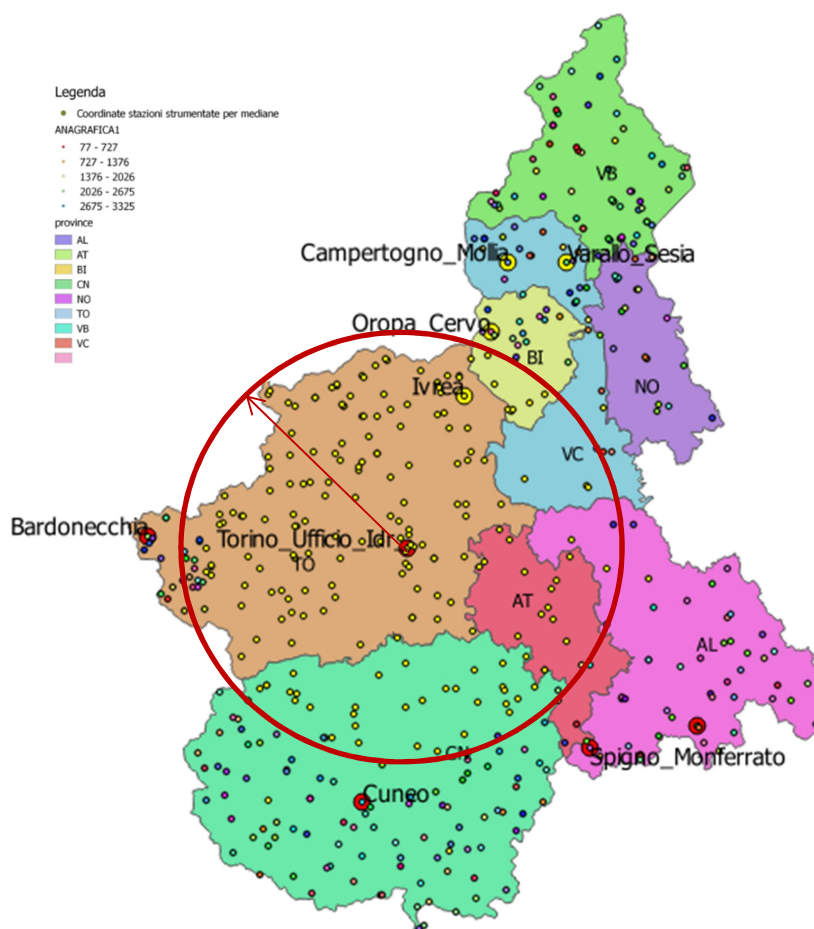


Figura 1: Rappresentazione del numero complessivo di dati utilizzati per l'analisi.

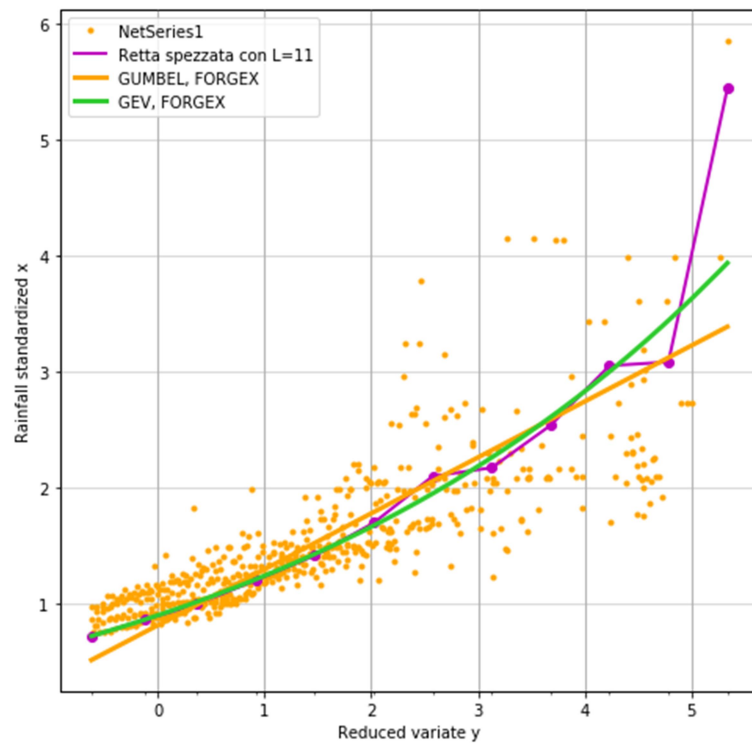


Figura 2: rappresentazione della curva che meglio si adatta alla spezzata in oggetto.

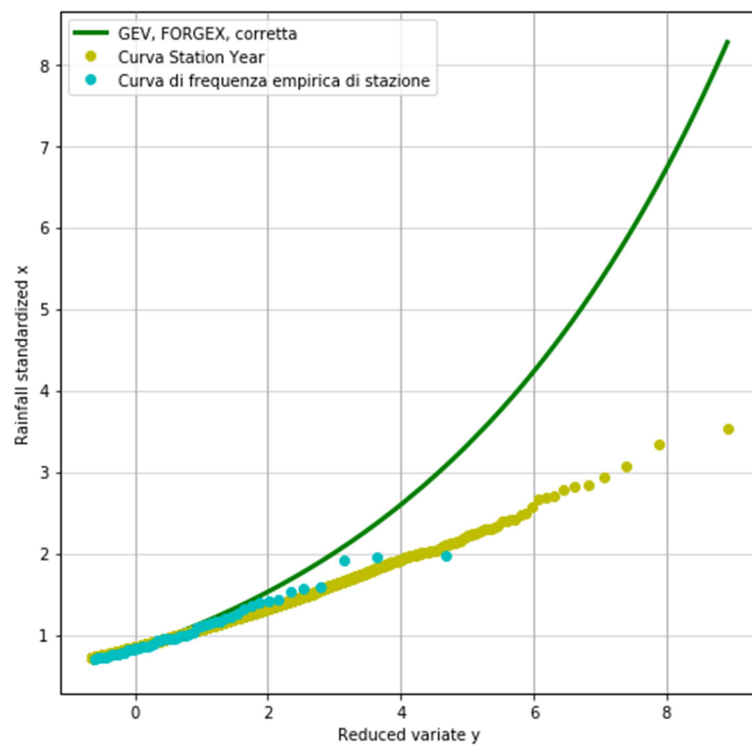


Figura 3: rappresentazione della distribuzione ottenuta e delle differenti curve di frequenza empirica

Località	Parametri De Michele-Rosso			Kriging		FORGEX		
	$\alpha$	$\varepsilon$	k	$\theta_2^*$	$\theta_3$	$\alpha$	$\varepsilon$	k
Torino Ufficio Idrografico	0.262	0.836	-0.048	0.27755	-0.04354	0.306	0.904	-0.212

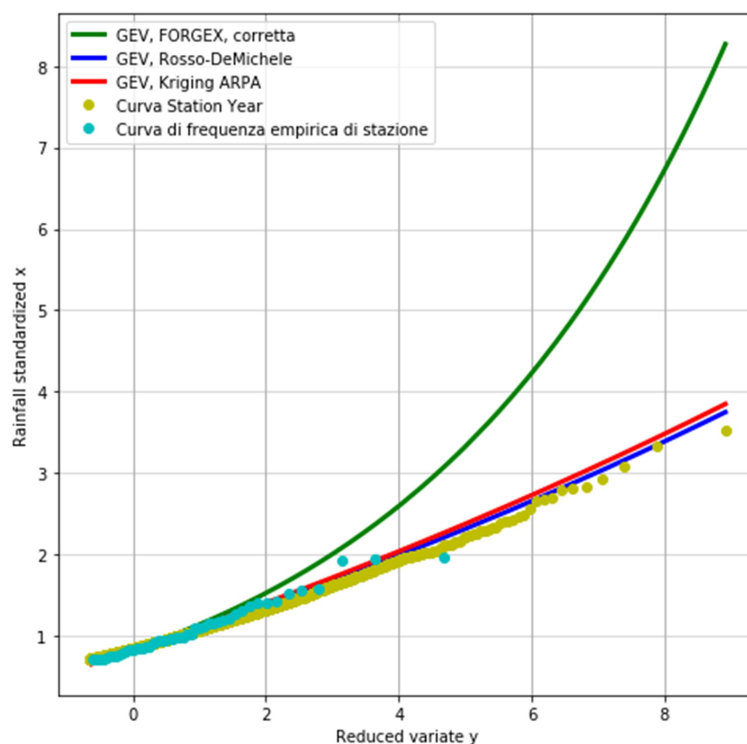


Figura 4: rappresentazione delle GEV per i differenti metodi in funzione della y. La curva gialla rappresenta la curva di frequenza empirica calcolata sull'intero set di dati.

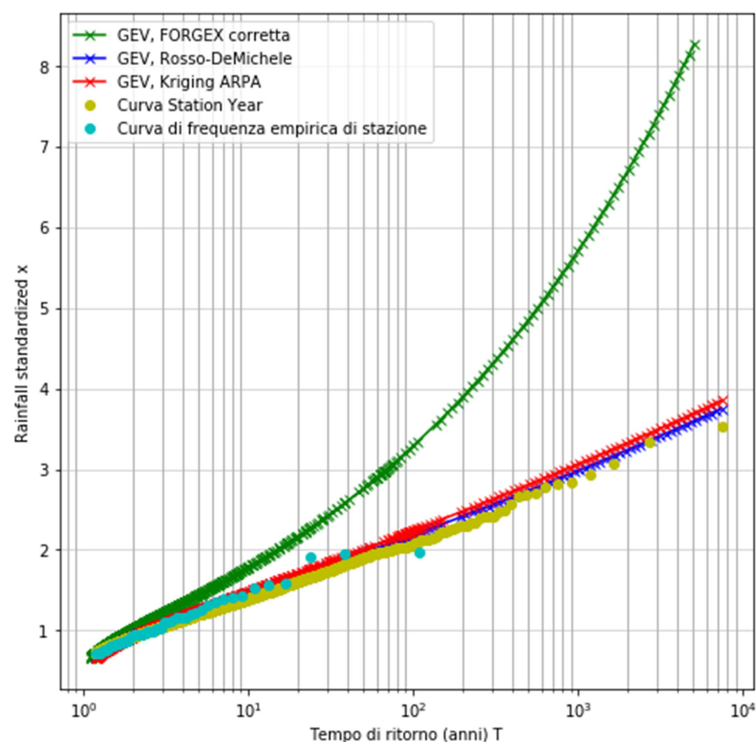


Figura 5: rappresentazione della GEV per i differenti metodi in funzione del periodo di ritorno.

Località	Valore medio	Valore mediano
Torino Ufficio Idrografico	57.07478	52.3

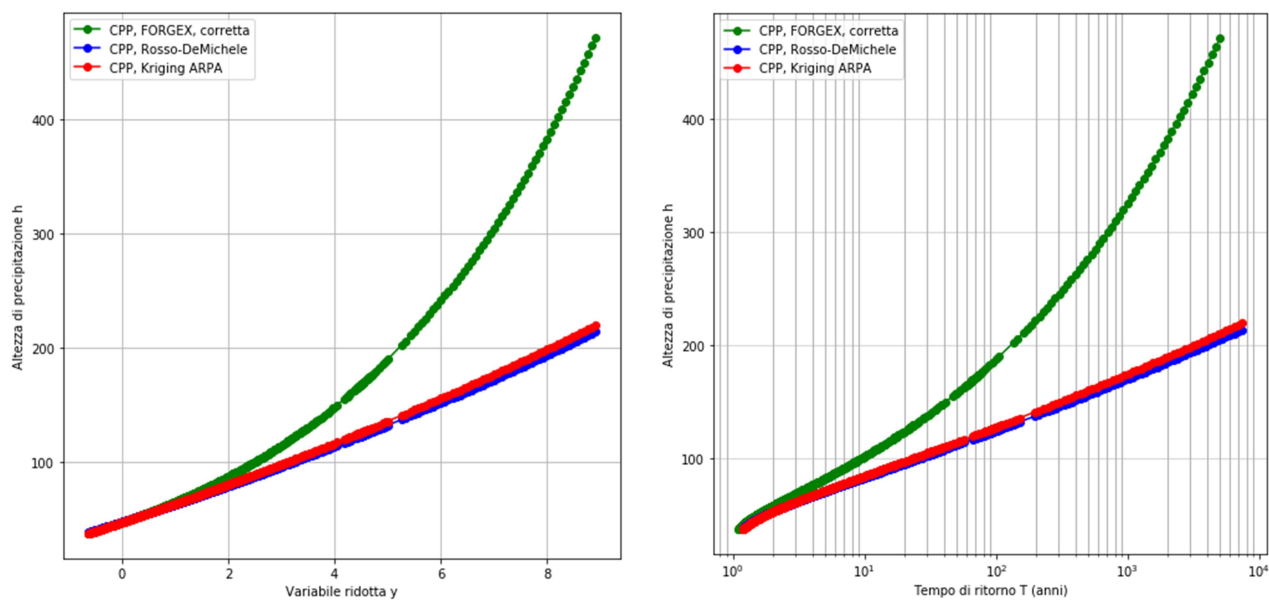


Figura 6: Rappresentazione delle curve di possibilità pluviometrica con i differenti metodi.

